

УДК 519.6

ВЕРИФИКАЦИЯ МОДЕЛИ РАСЧЕТА КОНВЕКТИВНОГО ПЕРЕНОСА ПРИМЕСИ НА ПРИМЕРЕ КРИСТАЛЛИЗАЦИИ ДВУХКОМПОНЕНТНЫХ РАСПЛАВОВ Pb-Sn

С. М. Ганина, В. П. Гинкин
(ГНЦ РФ-ФЭИ, г. Обнинск)

Разработан алгоритм расчета сегрегации примеси при кристаллизации двухкомпонентных расплавов, характеризующихся большими размерами двухфазной области. При расчете конвекции в пористой среде учитывается добавочное сопротивление течению по аналогии с законом Дарси. Температура *ликвидус* линейно зависит от концентрации примеси в жидкой фазе.

Предложенная модель реализована в программном комплексе GIGAN-2D. Для верификации модели просчитаны два численных бенчмарка: по кристаллизации расплава Sn с 10 %-ным содержанием Pb и расплава Pb с 18 %-ным содержанием Sn.

Ключевые слова: перспективные материалы, интерметаллиды, направленная кристаллизация, расплав, двухфазная переходная зона, численный бенчмарк, сегрегация, математическое моделирование, конвективный перенос примеси, движущиеся границы, алгоритм расчета.

Введение

Целью настоящей работы является верификация математической модели и программы расчета кристаллизации интерметаллидов, в частности, на основе двухкомпонентных сплавов TiAl. Эти сплавы широко используются в промышленности ввиду их высоких эксплуатационных характеристик. Основной проблемой при направленной кристаллизации интерметаллидов на основе TiAl является обеспечение и поддержание оптимальных температурных условий вблизи фронта кристаллизации для получения воспроизводимой микроструктуры материала по всей длине слитка. Эти тепловые режимы детально не изучены, что часто приводит к срыву микроструктуры кристаллизующегося материала и, в итоге, к литьевому браку.

Оценить параметры роста в динамике можно только по результатам численного моделирования процессов тепломассопереноса и по результатам расчетов соответствующих бенчмарков. Значительное различие температур *солидус* и *ликвидус* для TiAl приводит к формированию широкой двухфазной зоны (*mushy zone*). В ней

наряду с твердой фазой (кристаллитами и дендритами) содержится и междендритный расплав, течение которого может влиять на состав расплава у растущей ветви дендрита и определять таким образом состав кристаллизующихся поликристаллических зерен.

В работе [1] была предложена математическая модель для описания процесса тепломассопереноса при кристаллизации расплава в среде с двухфазной приграничной областью вблизи границы фазового перехода. В этой модели численно решается задача Стефана с двумя границами: *твердая фаза — двухфазная зона и двухфазная зона — жидккая фаза* с учетом конвекции в расплаве и двухфазной зоне с неоднородным распределением твердой фазы по объему этой зоны. В жидкой области решаются уравнения Навье—Стокса в приближении Буссинеска, в переходной двухфазной зоне — модифицированные уравнения Навье—Стокса, в которых учитывается дополнительная сила сопротивления течению расплава вследствие тормозящего воздействия зарождающейся и прорастающей в расплав твердой фазы. Предложенная модель с успехом при-

менялась для описания процессов тепломассопереноса при кристаллизации полупроводниковых расплавов методами Бриджмена и бестигельной зонной плавки в земных и космических условиях.

Однако в этих расчетах толщина двухфазной области была относительно малой (менее 0,5 мм). В рассматриваемой задаче толщина двухфазной области значительно больше (десятка миллиметров), что является совершенно новым фактором для данной модели и требует разработки новых методов оценки распределения долей твердой и жидкой фаз в двухфазной области в процессе кристаллизации.

В работе [2] дано описание двумерного численного бенчмарка для верификации математических моделей и программ расчета конвективного переноса примесей при кристаллизации двухкомпонентных расплавов. В настоящее время исследователи разных стран проводят сравнительные расчеты этого бенчмарка по различным программам. Результаты сравнений будут представлены на сайте <http://www.ijl.nancy-universite.fr/benchmark-solidification/>.

В данной работе приведены первые результаты расчетов указанного бенчмарка, полученные с помощью разработанного в ГНЦ РФ-ФЭИ кода GIGAN-2D, который предполагается использовать для расчетов кристаллизации интерметаллидов на основе TiAl.

Описание бенчмарка

Прямоугольная емкость высотой 0,06 м и шириной 0,1 м с двухкомпонентным расплавом помещена в термостат при температуре, равной температуре ликвидуса T_L . Сила тяжести направлена по вертикали сверху вниз. Один из компонентов расплава (с наименьшей концентрацией) считается примесью. Схема расчетной области представлена на рис. 1.

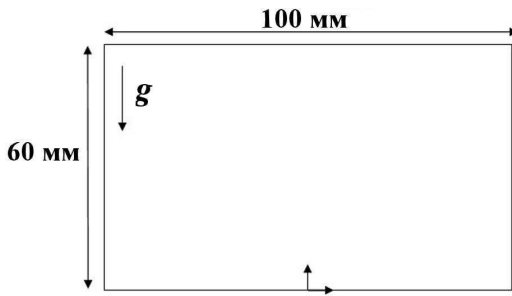


Рис. 1. Схема расчетной области

В начальный момент времени на боковых стенках емкости задается отвод тепла $q_b = h_T (T - T_{ext})$, где T — температура боковой стенки; $h_T = 400 \text{ Вт} \cdot \text{м}^{-2} \text{К}^{-1}$; $T_{ext} = 25^\circ\text{C}$. В кювете развивается свободная конвекция из-за появившихся градиентов температур и концентраций. Считается, что плотности, коэффициенты теплопроводности и теплоемкости жидкой и твердой фаз совпадают. Считается также, что диффузии примеси нет, т. е. коэффициент диффузии равен нулю. Кроме того, в уравнении движения учитывается течение через пористую среду посредством добавления в него слагаемого вида $\frac{\mu \varepsilon_l}{K} \mathbf{v}_l$, $K = \frac{\lambda_2^2 \varepsilon_l^3}{180 (1 - \varepsilon_l)^2}$, где μ — вязкость; ε_l — пористость вещества в двухфазной зоне; \mathbf{v}_l — скорость течения расплава; λ_2 — расстояние между вторичными ветвями дендритов (заданная константа).

Считается, что концентрация примеси в жидкой фазе C_l в двухфазной зоне всегда совпадает с равновесной, т. е. $C_l = (T - T_m) / m$, где T — температура расплава в двухфазной зоне; T_m — температура плавления чистого вещества (в отсутствие примеси); m — наклон линии ликвидуса на фазовой диаграмме (угловой коэффициент). Концентрация примеси в твердой фазе C_s определяется через равновесный коэффициент распределения k_0 : $C_s = k_0 C_l$.

Введем обозначения

$$\begin{aligned} \mathbf{V} &= \varepsilon_l \mathbf{v}_l; & p &= p_l; & \varepsilon_s &= 1 - \varepsilon_l; \\ h_s &= c_p T; & h_l &= c_p T + L; & \langle h \rangle &= c_p T + \varepsilon_l L; \\ \langle C \rangle &= \varepsilon_l C_l + \varepsilon_s C_s = [\varepsilon_l + (1 - \varepsilon_l) k_0] C_l; \\ \tilde{\rho} &= \rho [1 - \beta_T (T - T_{ref}) - \beta_C (C_l - C_{ref})], \end{aligned}$$

где \mathbf{V} — скорость фильтрации; L — теплота фазового перехода; h — удельная энталпия; p — давление; c_p — теплоемкость; β_T , β_C — коэффициенты теплового и концентрационного расширения; T_{ref} , C_{ref} , ρ — температура расплава, концентрация примеси и плотность вещества в начальный момент времени (заданные константы). Индексы l и s обозначают принадлежность к жидкой и твердой фазе соответственно. Тогда получаются следующие уравнения конвективного тепломассопереноса:

— уравнение движения

$$\begin{aligned} \nabla (\mu_l \nabla \mathbf{V}) - \varepsilon_l \nabla p - \frac{\mu_l \varepsilon_l}{K} \mathbf{V} + \varepsilon_l \tilde{\rho} \mathbf{g} &= \\ = \rho \frac{\partial \mathbf{V}}{\partial t} + \frac{\rho}{\varepsilon_l} (\nabla \mathbf{V}) \mathbf{V}; \end{aligned}$$

— уравнение неразрывности

$$\nabla \mathbf{V} = 0;$$

— уравнение энергии

$$\rho \frac{\partial \langle h \rangle}{\partial t} + \rho c_p \nabla T \mathbf{V} - \nabla (\kappa \nabla T) = 0;$$

— уравнение переноса примеси

$$\frac{\partial \langle C \rangle}{\partial t} + \nabla C_l \mathbf{V} = 0.$$

Для расчетов выбирались следующие сплавы: Sn-10 % Pb* и Pb-18 % Sn. Техофизические свойства для этих сплавов приведены в табл. 1, 2.

На рис. 2 (см. также цветную вкладку) приведены результирующие распределения отклонений концентраций примесей от начальной ($C - C_0$) через 600 секунд после начала кристаллизации. На этом же рисунке показаны контрольные точки, для которых проводилось сравнение (табл. 3). Кроме того, сравнивались одномерные вертикальные и горизонтальные профили отклонений $C - C_0$, заданные в табл. 4.

Таблица 1

Техофизические свойства для сплава Pb-18 % Sn

Величина	Обозначение	Значение
Теплоемкость	c_p	176 Дж/(кг · К)
Теплота фазового перехода	L	$3,76 \cdot 10^4$ Дж/кг
Теплопроводность	κ	17,9 Вт/(м · К)
Динамическая вязкость	μ_l	$1,10 \cdot 10^{-3}$ Па · с
Расстояние между вторичными ветвями дендритов	λ_2	$1,85 \cdot 10^{-4}$ м
Коэффициент теплового расширения жидкой фазы	β_T	$1,16 \cdot 10^{-4}$ К ⁻¹
Коэффициент концентрационного расширения жидкой фазы	β_C	$4,90 \cdot 10^{-3}$ (%) ⁻¹
Начальная концентрация примеси	C_0	18 %
Плотность	ρ	9 250 кг/м ³
Точка плавления при $C = 0$	T_m	327,5 °C
Температура начала образования эвтектики	T_e	183,0 °C
Равновесный коэффициент распределения	k_0	0,310
Угловой коэффициент	m_l	$-2,334$ К · (%) ⁻¹

Таблица 2

Техофизические свойства для сплава Sn-10 % Pb

Величина	Обозначение	Значение
Теплоемкость	c_p	260 Дж/(кг · К)
Теплота фазового перехода	L	$6,10 \cdot 10^4$ Дж/кг
Теплопроводность	κ	55 Вт/(м · К)
Динамическая вязкость	μ_l	$1,00 \cdot 10^{-3}$ Па · с
Расстояние между вторичными ветвями дендритов	λ_2	$6,50 \cdot 10^{-5}$ м
Коэффициент теплового расширения жидкой фазы	β_T	$6,00 \cdot 10^{-5}$ К ⁻¹
Коэффициент концентрационного расширения жидкой фазы	β_C	$-5,30 \cdot 10^{-3}$ (%) ⁻¹
Начальная концентрация примеси	C_0	10 %
Плотность	ρ	7 000 кг/м ³
Точка плавления при $C = 0$	T_m	232 °C
Температура начала образования эвтектики	T_e	183,0 °C
Равновесный коэффициент распределения	k_0	0,0656
Угловой коэффициент	m_l	$-1,286$ К · (%) ⁻¹

*Здесь и далее в процентах выражена массовая доля примеси.

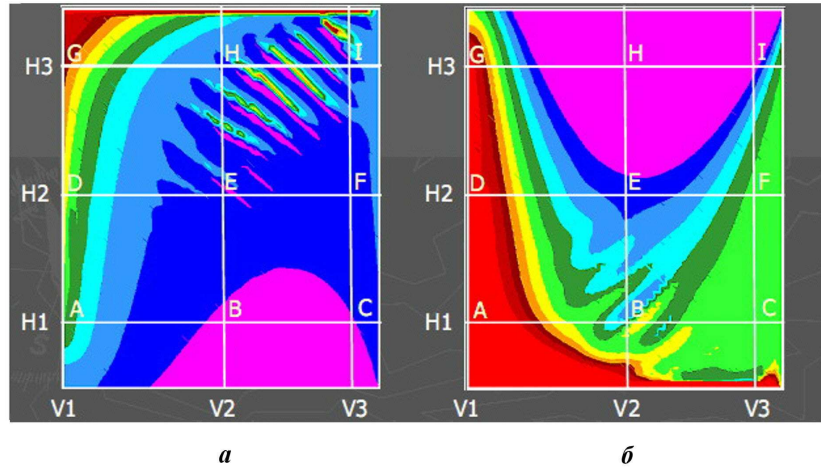


Рис. 2. Результатирующие распределения отклонений концентраций примесей от начальной: *a* — Pb-18 % Sn; *b* — Sn-10 % Pb

Таблица 3

Контрольные точки для сравнения результатов расчетов

Точка	<i>x</i> , мм	<i>y</i> , мм
<i>A</i>	0	10
<i>B</i>	25	10
<i>C</i>	45	10
<i>D</i>	0	30
<i>E</i>	25	30
<i>F</i>	45	30
<i>G</i>	0	50
<i>H</i>	25	50
<i>I</i>	45	50

Таблица 4

Одномерные вертикальные и горизонтальные профили отклонений $C - C_0$ для сравнения

Обозначение профиля	Уравнение профиля
<i>H1</i>	$y = 10$
<i>H2</i>	$y = 30$
<i>H3</i>	$y = 50$
<i>V1</i>	$x = 0$
<i>V2</i>	$x = 25$
<i>V3</i>	$x = 45$

Алгоритм расчета

В программном комплексе GIGAN-2D для расчетов использовался неявный алгоритм установления [3]. Расчеты проводились при разных ша-

гах по времени и по пространству. Ранее было найдено, что шаг по времени $\Delta t = 0,005$ с является приемлемым. Так как дальнейшее уменьшение шага не приводит к заметному изменению результатов, то в расчетах принят именно этот шаг.

В программе GIGAN-2D расчет конвективного переноса примеси проводится с учетом диффузии, тогда как в описанном выше бенчмарке диффузия примеси не учитывается. При расчете задавался коэффициент диффузии примеси в расплаве, равный 10^{-30} м²/с. При этом уравнение переноса, указанное в предыдущем разделе, заменилось на следующее:

$$\frac{\partial \langle C \rangle}{\partial t} + \nabla C_l \mathbf{V} = \nabla D_l \nabla C_l.$$

Для аппроксимации уравнений модели применялся метод Патанкара—Спэлдинга с использованием смешенных на полшага сеток для расчетов компонент скоростей по осям *X* и *Y*. Для аппроксимации конвективных членов применялся экспоненциальный метод, предложенный в работе [4], приводящий к монотонным разностным схемам. Разностное уравнение для давления получалось из разностного уравнения неразрывности.

На каждом шаге по времени выполнялась следующая последовательность действий:

1. По заданным распределениям долей жидкой фазы ε_l , температур T и концентраций C_l рассчитываются распределения компонент скоростей и давления.
2. Рассчитывается новое распределение энталпии $\langle h \rangle$.

3. По найденному распределению энталпии восстанавливается поле температур. Оно находится из условия квазистационарности $T = T_m + mC_l$ путем решения квадратного уравнения

$$\langle h \rangle = C_p T + L \left(\frac{\langle C \rangle m}{T - T_m} - k_0 \right) \frac{1}{1 - k_0}$$

и имеет вид

$$T = T_m + \frac{(1 - k_0)(\langle h \rangle - C_p T_m) + Lk_0}{2(1 - k_0)C_p} - \sqrt{\left[\frac{(1 - k_0)(\langle h \rangle - C_p T_m) + Lk_0}{2(1 - k_0)C_p} \right]^2 - \frac{L\langle C \rangle m}{(1 - k_0)C_p}}.$$

4. Вычисляется новое распределение долей жидкой фазы ε_l по формуле

$$\varepsilon_l = \left(\frac{\langle C \rangle m}{T - T_m} - k_0 \right) \frac{1}{1 - k_0}.$$

5. Сравниваются старое и новое распределения энталпии. Если точность не достигнута, возвращаемся к п. 2.

6. Решается уравнение для переноса примесей и находятся новые распределения концентраций C_l , $C_s = k_0 C_l$ и $\langle C \rangle = \varepsilon_l C_l + \varepsilon_s C_s$.
7. Сравниваются старое и новое распределения концентраций $\langle C \rangle$. Если точность не достигнута, возвращаемся к п. 2.
8. Сравниваются старое и новое распределения давлений. Если точность не достигнута, возвращаемся к п. 1.
9. Переходим к следующему временному шагу.

Результаты расчетов

На рис. 3 (см. также цветную вкладку) приведены карты распределений отклонений концентраций примесей от начальной ($C - C_0$) для сплава Sn-10 % Pb, рассчитанные на сетках 50×60 и 25×30 авторами бенчмарка по программе SOLID и авторами статьи по программе GIGAN-2D. Из представленных результатов видно, что между приведенными данными имеется неплохое качественное согласие.

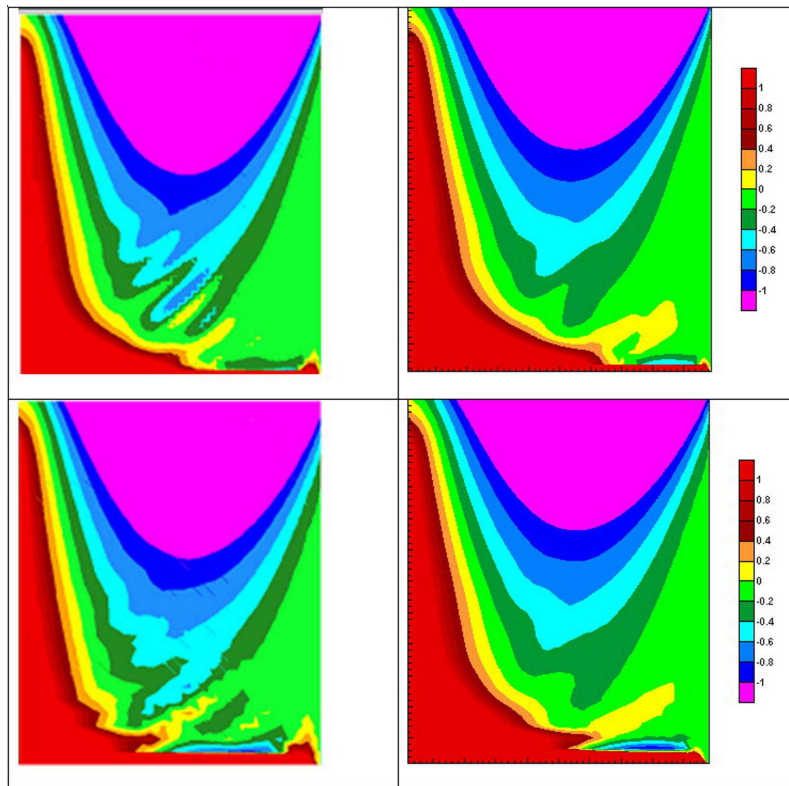


Рис. 3. Сравнение результатов, полученных по программам SOLID (слева) и GIGAN-2D (справа) для Sn-10 % Pb: вверху — сетка 50×60 ; внизу — сетка 25×30

На рис. 4 (см. также цветную вкладку) приведены профили отклонений концентраций в сечениях H_3 и H_1 (см. табл. 4), полученные по программе SOLID. На рис. 5 (см. также цветную вкладку) приведены те же профили, полученные по программе GIGAN-2D. Из представленных данных видно заметное количественное расхождение результатов, хотя качественное согласие имеется.

На рис. 6 (см. также цветную вкладку) приведены карты распределений отклонений концентраций примесей от начальной ($C - C_0$) для сплава Pb-18 % Sn, рассчитанные на сетках 50×60 и 25×30 авторами бенчмарка по программе SOLID и авторами статьи по программе GIGAN-2D. Из представленных результатов видно, что между приведенными данными, так же, как и для сплава Sn-10 % Pb, имеется неплохое качественное согласие.

На рис. 7, 8 (см. также цветную вкладку) приведены профили отклонений концентраций

в сечениях H_3 и H_1 , полученные по программе SOLID, а также по программе GIGAN-2D. Результаты сравнения аналогичны приведенным выше: имеется качественное согласие расчетов по программам SOLID и GIGAN-2D, но численные значения заметно различаются.

Заключение

Из анализа полученных результатов следует, что качественно они согласуются с аналогичными результатами, представленными авторами бенчмарка. Имеющиеся различия, скорее всего, связаны с различиями в моделях, различными способами аппроксимации и различными ограничениями по точности на разных этапах расчета. В то же время предложенный алгоритм позволяет перейти к расчетам задач с учетом диффузии при переносе примеси без дополнительных переделок алгоритма.

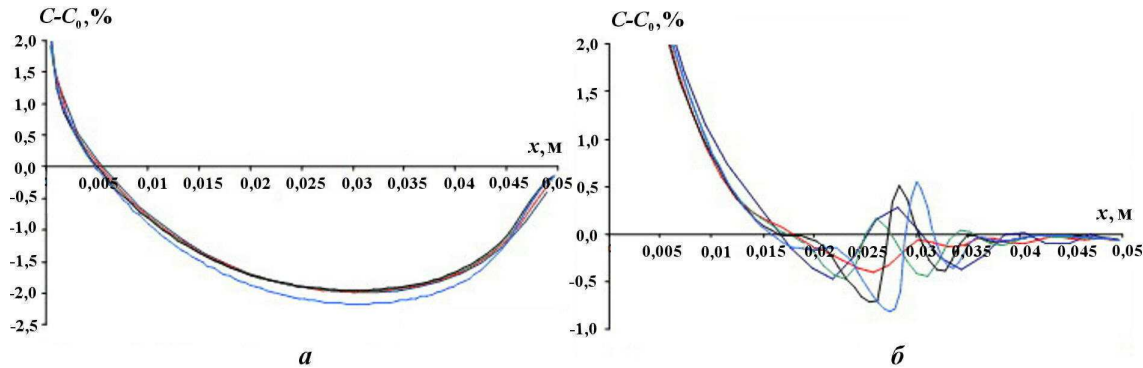


Рис. 4. Профили отклонений концентраций в сечениях H_3 (a) и H_1 (б), полученные по программе SOLID

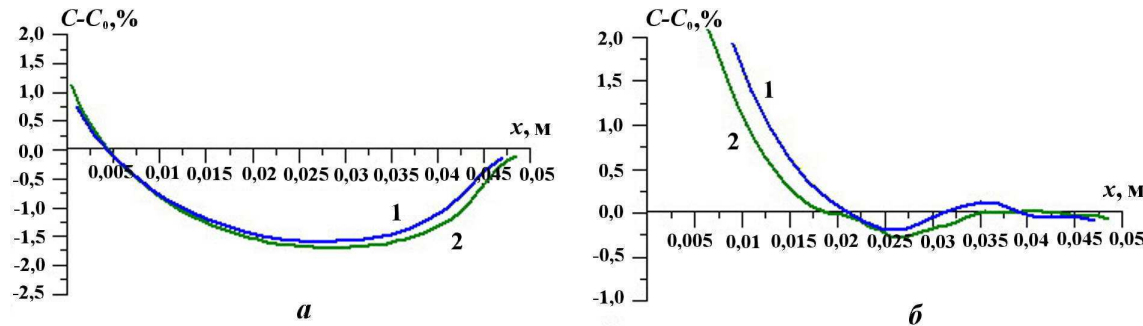


Рис. 5. Профили отклонений концентраций в сечениях H_3 (a) и H_1 (б), полученные по программе GIGAN-2D: 1 — сетка 25×30 ; 2 — сетка 50×60

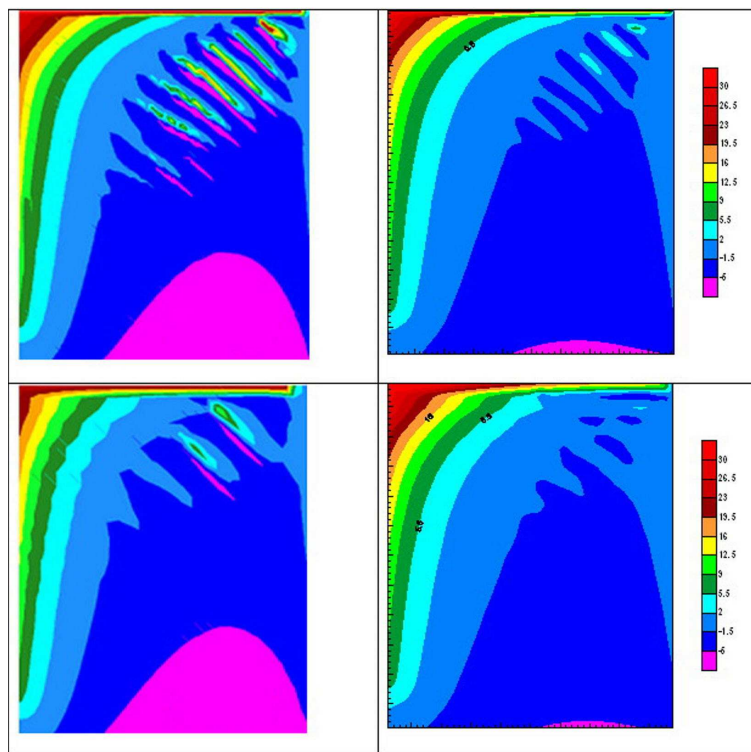


Рис. 6. Сравнение результатов, полученных по программам SOLID (слева) и GIGAN-2D (справа) для Pb-18 % Sn: вверху — сетка 50×60 ; внизу — сетка 25×30

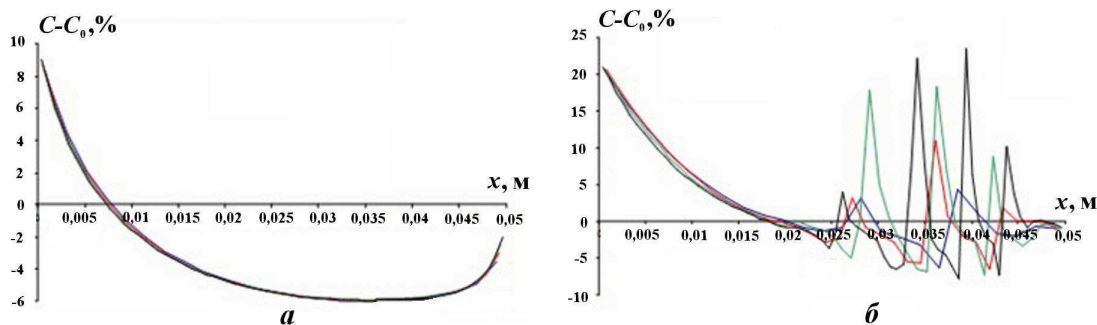


Рис. 7. Профили отклонений концентраций в сечениях H_1 (a) и H_3 (б), полученные по программе SOLID

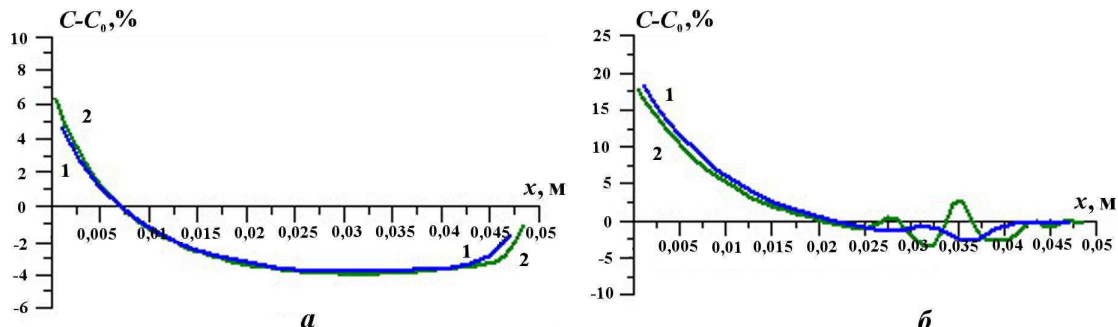


Рис. 8. Профили отклонений концентраций в сечениях H_1 (a) и H_3 (б), полученные по программе GIGAN-2D: 1 — сетка 25×30 ; 2 — сетка 50×60

Выполненные расчеты показали, что имеется необходимость проведения детального сравнения с результатами, полученными другими авторами, а также результатами экспериментов. Такие сравнения позволяют сделать более обоснованные выводы относительно адекватности модели и точности расчетов, а также наметить пути усовершенствования моделей и алгоритмов расчетов сегрегации примесей многокомпонентных расплавов при их кристаллизации.

Работа поддержана грантом РФФИ № 09-08-00844-а.

Список литературы

1. Гинкин В. П., Забудъко М. А., Карташых А. В. и др. Численное моделирование процесса тепломассопереноса с позиции кластерной модели строения расплава // Поверхность. 2004. № 6. С. 93–100.
2. Bellet M., Combeau H., Fautrelle Y. et al. Call for contributions to a numerical benchmark problem for 2D columnar solidification of binary alloys // Int. J. Thermal Sc. 2009. Vol. 48. P. 2013–2016.
3. Гинкин В. П., Ганина С. М., Гинкина О. М. Математическая модель кристаллизации растворов под управляющим воздействием температурного поля на примере выращивания кристаллов // Вопросы атомной науки и техники. Сер. Математическое моделирование физических процессов. 2010. Вып. 2. С. 64–74.
4. Ginkin V. Methods of solution of convective heat mass transfer at single crystal growth problem // Proc. 2-nd Int. Symposium on Advances in Computational Heat Transfer. Palm Cove, Queensland, Australia. 2001. Vol. 2. P. 1161–1168.

Статья поступила в редакцию 09.10.09.